



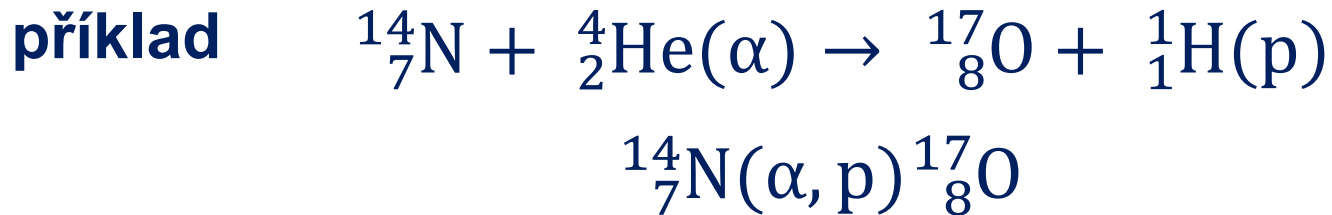
- základní typy jaderných reakcí
- mechanismus jaderné reakce
- charakteristiky jaderných reakcí



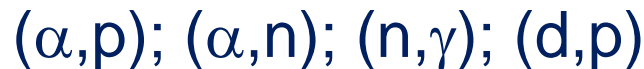
jaderná reakce

- binukleární proces přeměny jádra
- interakce jádra s jiným jádrem, nukleonem, fotonem





Zkrácený zápis jaderných reakcí umožňuje snadné členění reakcí na reakce typu:



Při všech jaderných reakcích platí zákony zachování :

- nábojového, nukleonového, protonového čísla
- energie
- hybnosti



energetické zabarvení jaderných reakcí

závisí na součtu klidových hmotností produktů reakce

- menší než interagující částice
- větší než interagující částice
- **exoergická**
- **endoergická**

$$Q = -931,5 \Delta m \text{ (MeV)}$$

$\Delta m < 0$, $Q > 0$ **exoergická reakce**

$\Delta m > 0$, $Q < 0$ **endoergická reakce**



endoergická reakce

projektil musí mít určitou minimální kinetickou energii

- **prahová energie**

- velikost lze odvodit ze zákona zachování hybnosti

výtěžek jaderné reakce při prahové energii projektilu je malý

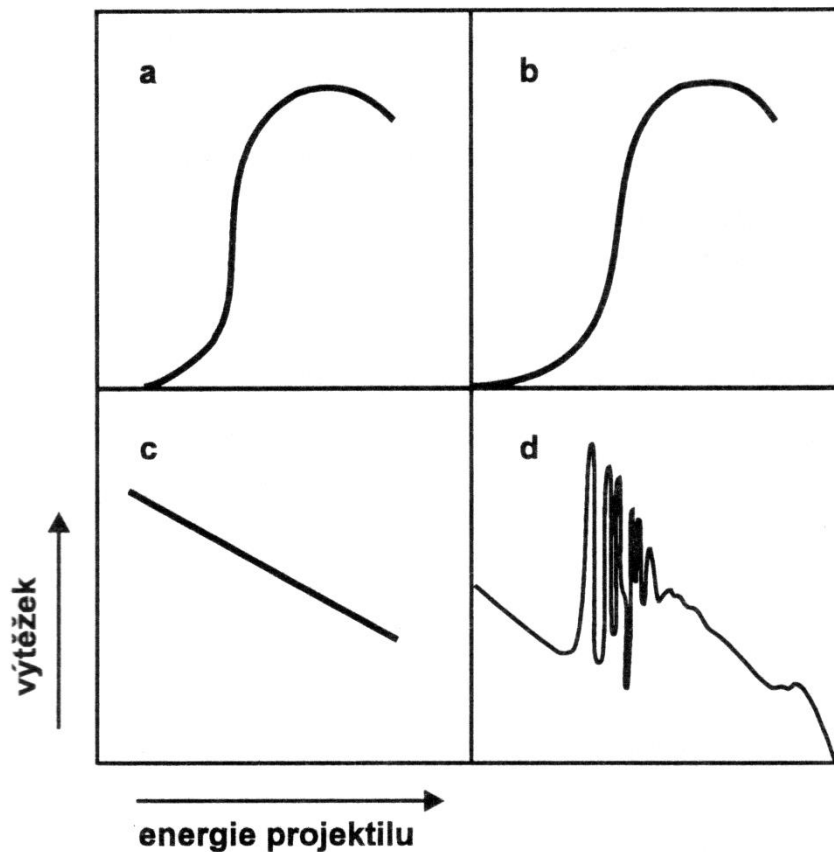
prakticky se reakce provádí s jaderným projektilem o vyšší energii, než je energie prahová

výtěžek jaderné reakce je funkcí energie jaderného projektilu (excitační funkce)



exoergické reakce

- nemívají prahovou energii
- u kladných projektilů je však nutná jistá kinetická energie, aby se překonala coulombovská bariéra
- exoergické reakce neutronů probíhají s největším výtěžkem při nulové kinetické energii neutronů
- někdy se pravděpodobnost reakce zvyšuje - **rezonance**
 - jestliže je excitační energie jádra blízká některé jeho energetické hladině



Excitační funkce jaderných reakcí: a – endoergická reakce; b – exoergická reakce kladných projektilů; c – exoergická reakce neutronů; d – reakce s rezonancemi.



charakteristiky jaderných reakcí

okamžitá rychlost jaderné reakce

časová změna, přírůstek, počtu atomů vznikajícího nuklidu

$$R = \frac{dN^*}{dt} \sigma \phi N$$

Φ - tok částic - počet projektilů dopadajících na plošnou jednotku terče za časovou jednotku

N - počet terčových jader

N^* - počet atomů vznikajícího nuklidu

σ - účinný průřez



účinný průřez $[\sigma] = \text{m}^2$

- stará jednotka 1 Barn = 10^{-28} m^2
- je úměrný pravděpodobnost zásahu projektilu do terčového jádra
- zpravidla se liší svou hodnotou od geometrického průřezu
- závisí
 - na energii projektilu
 - na typu jaderné reakce
 - na excitační funkci



účinný průřez

Reakce	σ (m ²)	Pozn.
$^{10}\text{B}(n,\alpha)^7\text{Li}$	$3,8 \cdot 10^{-25}$	pomalé neutrony
$^{238}\text{U}(n,\gamma)^{239}\text{U}$	$2,7 \cdot 10^{-28}$	pomalé neutrony
$^{249}\text{Cf}(^{15}\text{N},4n)^{260}\text{Rf}$	$3 \cdot 10^{-33}$	vliv coulombické bariéry



výtěžek jaderné reakce B

- poměr počtu vznikajících atomů k počtu projektilů dopadajících na terč

$$B = \frac{dN^*}{dt} \cdot \frac{1}{\phi S} = \frac{\sigma N}{S}$$

S - plocha terče



výtěžek jaderné reakce B

- velké výtěžky jsou typické pro exoergické reakce pomalých neutronů
- počet N^* je ve srovnání s počtem projektilů malý, nevyjadřujeme tedy výtěžek v %
- výtěžek reakce se zpravidla vyjadřuje aktivitou vzniklého radionuklidu



kinetika jaderné reakce

- závislost počtu atomů vzniklých jadernou reakcí (N^*) na době ozařování

$$N^* = Rt = \sigma\Phi Nt$$

R má význam rychlostní konstanty

- aktivita vznikajícího nuklidu $A = R(1 - e^{-\lambda t})$
- limitní hodnota - nasycená aktivita

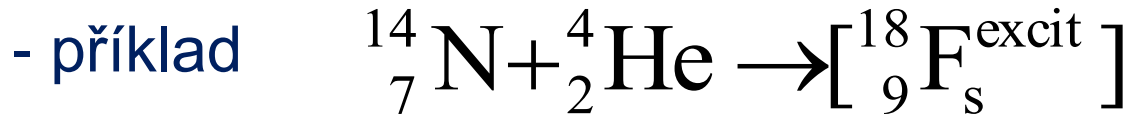


průběh jaderné reakce

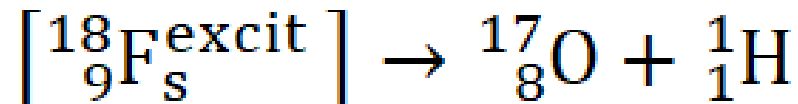
- do 10 MeV na nukleon projektilu
- projektil je pohlcen terčovým jádrem
- vznikne **složené jádro** - vychází z kapkového modelu jádra
- složené jádro je ve vysoce excitovaném stavu
- excitační energie pochází z kinetické energie projektilu a vazebné energie uvolněné při zachycení projektilu v jádře



průběh jaderné reakce



- energie jednotlivých nukleonů se neustále přerozděluje vzájemnými srážkami
- může se stát, že některý nukleon získá takovou energii, která mu umožní opustit složené jádro a nastává druhá fáze procesu - rozpad složeného jádra





rozpad složeného jádra

- excitační energie složeného jádra se zmenší o vazebnou a kinetickou energii emitované částice
- je-li excitační energie složeného jádra značná, může se uvolnit i více nukleonů

reakce typu (α , pn) (n, 2n) (těžký ion, 4n)



rozpad složeného jádra

- nadbytečná energie, která již nestačí k emisi nukleonu, se vyzáří jako fotony - γ záření
- jediný způsob deexcitace u nízkých excitačních energií

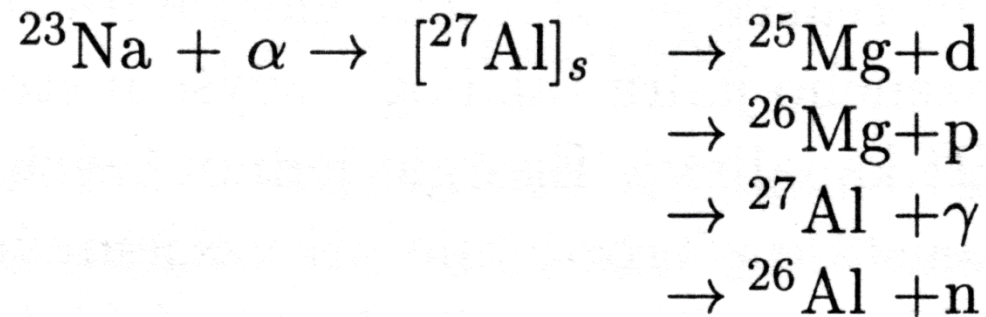
reakce typu (n, γ)

- doba života složeného jádra je 10^{-16} - 10^{-14} s
- doba dostatečná k přerozdělení energie - nukleony projektilu jsou nerozlišitelné od nukleonů terče



rozpad složeného jádra

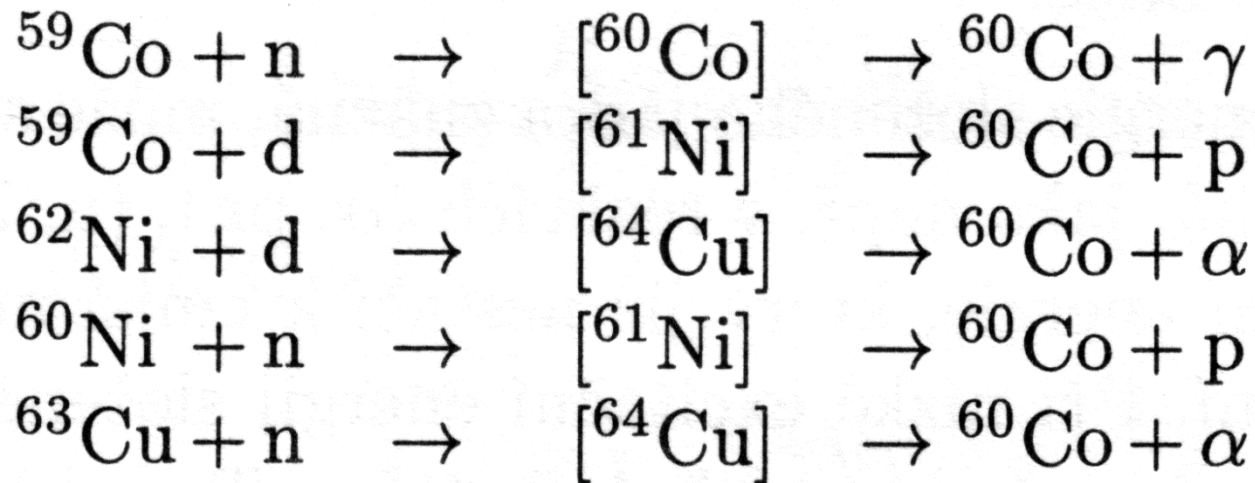
- existují tedy různé možnosti rozpadu složeného jádra
- při ostřelování určitého terče určitým projektilem probíhá často několik jaderných reakcí současně





rozpad složeného jádra

- různými reakcemi může vznikat tentýž nuklid





reakce neutronů

- velmi časté reakce s vysokými výtěžky
- pro neutron neexistuje potenciálová bariéra terčového jádra
- pravděpodobnost záchytu neutronu je tím větší, čím je neutron pomalejší - déle se zdržuje v okolí jádra



reakce neutronů

- pomalé neutrony

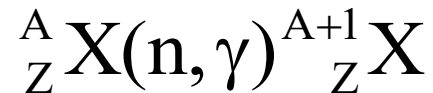
- tepelné neutrony, $E = 0,002 - 0,5 \text{ eV}$

- rezonanční neutrony, $E = 0,5 \text{ eV} - 1 \text{ keV}$

- rychlé neutrony $E > 1 \text{ keV}$



reakce (n, γ) - radiační záchyt neutronu



- produktem je izotop terčového jádra, protože nízká excitační energie složeného jádra nestačí k uvolnění nukleonu - deexcitace probíhá vyzářením fotonu
- zvýšený počet neutronů vede často k nuklidům, které podléhají přeměnám β^-
- reakce má praktický význam pro průmyslovou produkci radionuklidů - např. výroba ${}^{32}\text{P}$, ${}^{60}\text{Co}$



reakce jader se $Z > 10$ s pomalými neutrony

- jde o reakce (n, γ)
- exoergické, $Q = 6-10$ MeV
- probíhají téměř se všemi jádry
- výtěžky bývají velké



reakce jader se $Z < 10$ s pomalými neutrony

- zpravidla probíhají reakce typu (n, p) , (n, α) - převládají nad reakcemi (n, γ)
- mají vysoké výtěžky a jsou exoergické
- emise kladné částice je umožněna existencí nižší coulombické bariéry a existuje vyšší pravděpodobnost, že nukleon (nebo $2p + 2n$) získají potřebnou energii k opuštění jádra



reakce jader se $Z < 10$ s pomalými neutrony

- reakce se prakticky využívají

${}^6\text{Li}(n,\alpha){}^3\text{H}$	výroba tritia
${}^{14}\text{N}(n,p){}^{14}\text{C}$	výroba ${}^{14}\text{C}$
${}^{10}\text{B}(n,\alpha){}^7\text{Li}$	měření a absorpce neutronů



reakce těžších jader s neutrony o vyšších energiích

- s rostoucí energií neutronů klesá výtěžek záchytné reakce
- s rychlými neutrony (0,5 - 10 MeV) roste pravděpodobnost reakcí typu (n, p) a (n, α)
- reakce jsou však zpravidla endoergické a mají malý význam
- významnější jsou reakce typu $(n, 2n)$



reakce kladně nabitých projektilů

- tyto projektily musí při průniku do jádra překonat coulombovskou bariéru
- nižší výtěžky reakcí ve srovnání s reakcemi neutronů
- u exoergických reakcí musí mít projektil určitou kinetickou energii
- proton - p, deutron - d, α - částice, ^3He , těžká jádra



neutronová aktivační analýza

- využití jaderných reakcí pro kvalitativní a kvantitativní chemickou analýzu
- nedestruktivní analýza prováděná přímo vložением vzorku do ozařovacího kanálu ozařovacího zařízení (měření lze automatizovat)
- využívá se známé jaderné reakce terčového jádra
- po aktivaci se analyzuje gama spektrum z přímého ozařování („prompt gama“)
- z velikosti aktivity pak lze soudit na kvantitu prvku
- k vyhodnocení kvantity slouží standardy o známé hmotnosti, které se ozařují za stejných podmínek



neutronová aktivační analýza

- stanovení příměsí v čistých materiálech, horninách, kovech
- archeologie - obsah stopových prvků umožňuje stanovit původ použitých surovin
- výtvarné umění - cca 1 mg vzorku barvy umožní stanovit různé pigmenty charakteristické pro určité období
 - lze odhalit falzifikáty
- kriminalistika - stopové množství spalin po střelbě ze zbraně